

**НИУ ИТМО**

---

---

**ФАКУЛЬТЕТ СИСТЕМ УПРАВЛЕНИЯ И РОБОТОТЕХНИКИ**

ЛАБОРАТОРНАЯ РАБОТА № 2  
ПО ДИСЦИПЛИНЕ «ЧАСТОТНЫЕ МЕТОДЫ»

Выполнил:

Гридусов Д.Д

Преподаватель:

Перегудин А.А

Санкт-Петербург  
2024 г.

# Содержание

<b>1</b>	<b>Вещественное</b>	<b>2</b>
1.1	Прямоугольная функция . . . . .	2
1.2	Треугольная функция . . . . .	2
1.3	Кардинальный синус . . . . .	3
1.4	Функция Гаусса . . . . .	4
1.5	Двустороннее затухание . . . . .	5
1.6	Общий вывод . . . . .	5
<b>2</b>	<b>Комплексное</b>	<b>6</b>
2.1	Процесс . . . . .	6
2.2	Вывод . . . . .	9
<b>3</b>	<b>Музыкальное</b>	<b>9</b>

# 1 Вещественное

## 1.1 Прямоугольная функция

$$f_1(t) = \begin{cases} a, & |t| \leq b, \\ 0, & |t| > b \end{cases}$$

С помощью унитарного преобразования к угловой частоте найдем образ Фурье:

$$c_1(\omega) = \frac{1}{\sqrt{2\pi}} \int_{-\infty}^{+\infty} f(t)e^{-i\omega t} dt = \frac{1}{\sqrt{2\pi}} \int_{-b}^b ae^{-i\omega t} dt = \frac{a}{\sqrt{2\pi}} \left( \frac{e^{-i\omega t}}{-i\omega} \Big|_{-b}^b \right) = \frac{a}{\sqrt{2\pi}} \frac{e^{i\omega b} - e^{-i\omega b}}{i\omega} = \frac{a}{\sqrt{2\pi}} \frac{2 \sin(\omega b)}{\omega} = \frac{2a \sin(\omega b)}{\sqrt{2\pi}\omega}$$

Теперь построим графики Фурье образа и самой функции при различных значениях а и b.

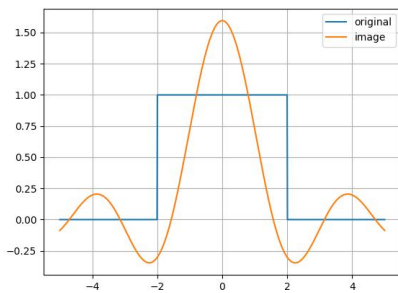


Рис. 1: a = 1, b = 2

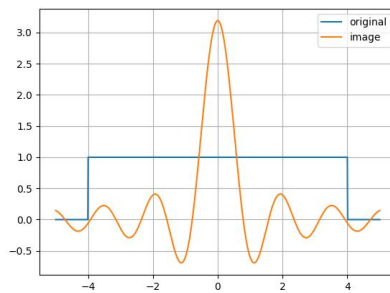


Рис. 2: a = 1, b = 4

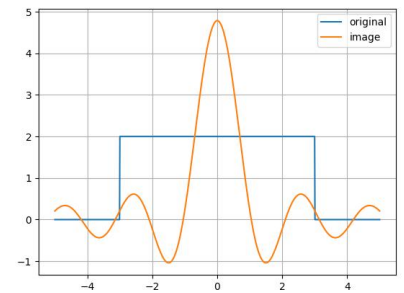


Рис. 3: a = 2, b = 3

**Равенство Парсеваля:**

$$\| f \|^2 = \int_{-b}^b f^2(t) dt = [a = 1, b = 3] = 6$$

$$\| c(\omega) \|^2 = \int_{-\infty}^{\infty} c^2(\omega) d\omega = 6$$

## 1.2 Треугольная функция

$$f_2(t) = \begin{cases} a - \frac{a}{b}|t|, & |t| \leq b, \\ 0, & |t| > b \end{cases}$$

**Образ Фурье:**

$$c_2(\omega) = \frac{1}{\sqrt{2\pi}} \int_{-\infty}^{+\infty} f(t)e^{-i\omega t} dt = \frac{1}{\sqrt{2\pi}} \left( \int_{-b}^0 \left(a + \frac{a}{b}t\right) e^{-i\omega t} dt + \int_0^b \left(a - \frac{a}{b}t\right) e^{-i\omega t} dt \right) = -\frac{\sqrt{2}a(\cos(b\omega)-1)}{b\omega^2}$$

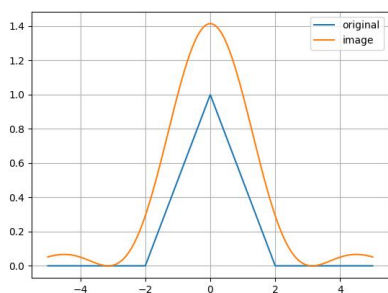


Рис. 4:  $a = 1, b = 2$

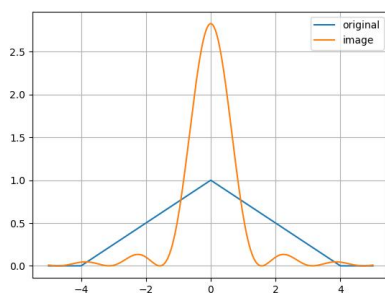


Рис. 5:  $a = 1, b = 4$

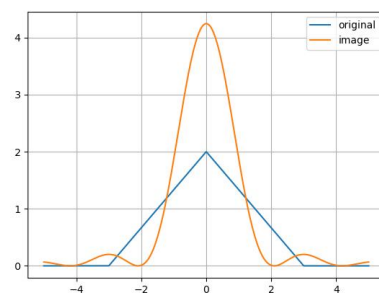


Рис. 6:  $a = 2, b = 3$

### 1.3 Кардинальный синус

$$f_3(t) = a \frac{\sin(\pi b t)}{\pi b t}$$

Образ Фурье:

$$c_3(\omega) = \frac{1}{\sqrt{2\pi}} \int_{-\infty}^{+\infty} f(t) e^{-i\omega t} dt = \frac{a}{\sqrt{2\pi b \pi}} \int_{-\infty}^{+\infty} \frac{e^{i\pi b t} - e^{-i\pi b t}}{2it} e^{-i\omega t} dt = \frac{a}{\sqrt{2\pi b \pi}} \int_{-\infty}^{+\infty} \frac{e^{(\pi b - \omega)it} - e^{-(\pi b + \omega)it}}{2it} dt$$

Если не останавливаться, разбить на два и проинтегрировать каждый по частым, то в итоге должна получиться уже знакомая нам прямоугольная функция.

$$c_3(\omega) = \begin{cases} \frac{a}{b\sqrt{2\pi}}, & |\omega| \leq b\pi, \\ 0, & |\omega| > b\pi \end{cases}$$

Равенство Парсеваля:

$$\|f\|^2 = \int_{-\infty}^{+\infty} f^2(t) dt = [a = 1, b = 3] = \frac{1}{3}$$

$$\|c(\omega)\|^2 = \int_{-\infty}^{\infty} c^2(\omega) d\omega = \frac{1}{3}$$

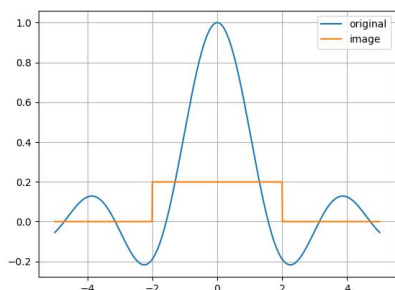


Рис. 7:  $a = 1, b = 2$

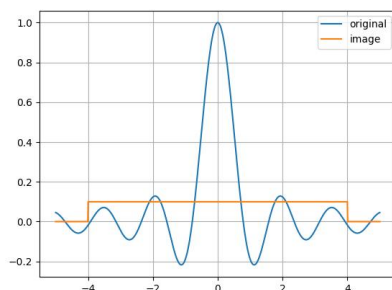


Рис. 8:  $a = 1, b = 4$

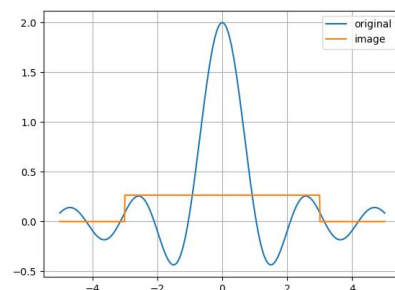


Рис. 9:  $a = 2, b = 3$

## 1.4 Функция Гаусса

$$f_4(t) = ae^{-bt^2}$$

Образ Фурье:

$$c_4(\omega) = \frac{1}{\sqrt{2\pi}} \int_{-\infty}^{+\infty} f(t)e^{-i\omega t} dt = \frac{1}{\sqrt{2\pi}} a \int_{-\infty}^{+\infty} e^{-bt^2 - i\omega t} dt = \frac{a}{\sqrt{2b}} e^{-\frac{\omega^2}{4b}}$$

Равенство Парсеваля

$$\| f \|^2 = \int_{-\infty}^{+\infty} f^2(t) dt = [a = 1, b = 3] = 0.724$$

$$\| c(\omega) \|^2 = \int_{-\infty}^{\infty} c^2(\omega) d\omega = 0.724$$

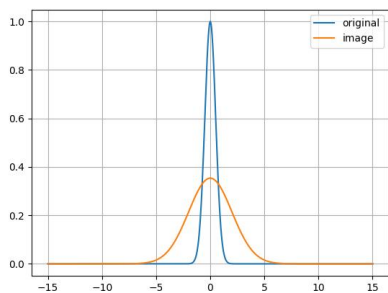


Рис. 10:  $a = 1, b = 2$

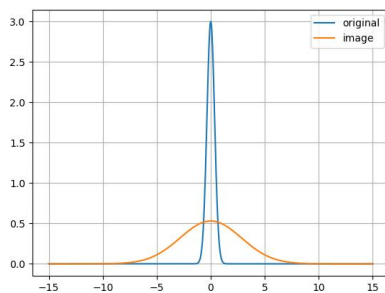


Рис. 11:  $a = 3, b = 4$

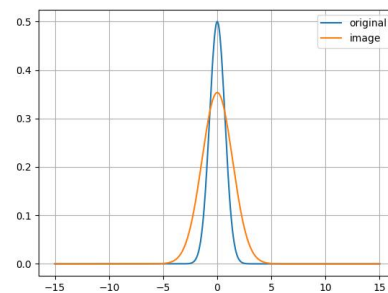


Рис. 12:  $a = 0.5, b = 1$

## 1.5 Двустороннее затухание

$$f_5(t) = ae^{-b|t|}$$

Образ Фурье:

$$c_5(\omega) = \frac{1}{\sqrt{2\pi}} \int_{-\infty}^{+\infty} f(t)e^{-i\omega t} dt = \frac{1}{\sqrt{2\pi}} a \int_{-\infty}^{+\infty} e^{-b|t|-i\omega t} dt$$

$$c_5(\omega) = \frac{a}{\sqrt{2\pi}} \int_{-\infty}^0 e^{t(b-i\omega)} dt + \frac{a}{\sqrt{2\pi}} \int_0^{+\infty} e^{-t(b+i\omega)} dt = \frac{a}{\sqrt{2\pi}} \left( \frac{1}{b-i\omega} + \frac{1}{b+i\omega} \right) = \frac{a}{\sqrt{2\pi}} \frac{2b}{b^2+\omega^2} = \sqrt{\frac{2}{\pi}} \frac{ab}{b^2+\omega^2}$$

Равенство Парсеваля:

$$\|f\|^2 = \int_{-\infty}^{+\infty} f^2(t) dt = [a=1, b=3] = \frac{1}{3}$$

$$\|c(\omega)\|^2 = \int_{-\infty}^{\infty} c^2(\omega) d\omega = \frac{1}{3}$$

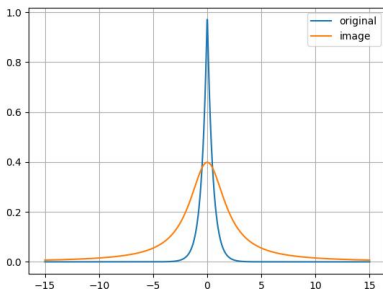


Рис. 13:  $a = 1, b = 2$

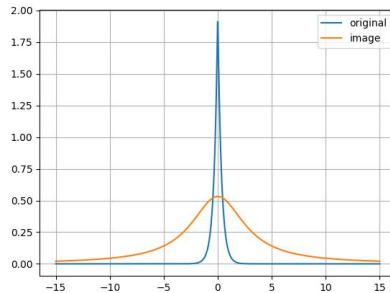


Рис. 14:  $a = 2, b = 3$

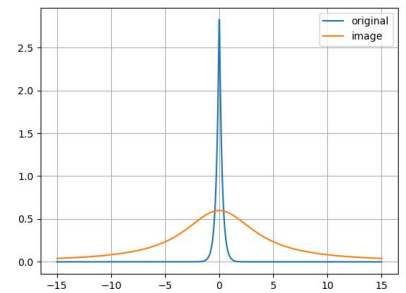


Рис. 15:  $a = 3, b = 4$

## 1.6 Общий вывод

По графикам видно, что  $a$  отвечает за растяжение вдоль оси  $Oy$ ,  $b$  - вдоль оси  $Ox$ . В более менее классической формулировке принцип неопределенности утверждает, что для некоммутируемых величин (т.е коммутатор не равен нулю - операторы положения и импульса подходят, например - их коммутатор равен  $i\frac{h}{2\pi}$ ) существует предел точности одновременного измерения. Иначе говоря, мы не можем знать положение и импульс частицы в один момент времени без погрешности. Чем точнее знаем импульс, тем хуже положение (и наоборот). Т.к частицу можно описывать волновыми характеристиками (принцип корпускулярно-волнового дуализма), то как я понимаю наш случай с функциями и их образами, графики функций - функция плотности распределения положения частицы. То есть чем больше площадь под синим (в моем случае) графике, тем больше точек, в которых частица может быть обнаружена с ненулевой вероятностью. Чем больше ж е площадь под графиком фурье образа, тем больше погрешность измерений импульса частицы. И когда мы уменьшаем площадь под одним из графиков, то увеличивается площадь по вторым (и наоборот).

## 2 Комплексное

### 2.1 Процесс

Возьмем функцию двустороннего затухания. Зафиксируем  $a = 2$ ,  $b = 4$

$$f(t) = 2e^{-4|t|}$$

$$g(t) = f(t + c) = 2e^{-4|t+c|}$$

$$\begin{aligned}\hat{g}(t) &= \frac{1}{\sqrt{2\pi}} \int_{-\infty}^{+\infty} f(t+c)e^{-i\omega t} dt = [t+c=\mu] = \sqrt{\frac{2}{\pi}} \int_{-\infty}^{+\infty} e^{-4|\mu|} e^{-i\omega(\mu-c)} d\mu = \\ e^{i\omega c} \sqrt{\frac{2}{\pi}} &\left( \int_{-\infty}^{-c} e^{(4-i\omega)\mu} d\mu + \int_{-c}^{\infty} e^{-(4+i\omega)\mu} d\mu \right) = e^{i\omega c} \sqrt{\frac{2}{\pi}} \left( \frac{1}{4-i\omega} e^{-c(4-i\omega)} + \frac{1}{-(4+i\omega)} e^{c(4+i\omega)} \right)\end{aligned}$$

Также построим графики сдвинутой функции и её Фурье образа

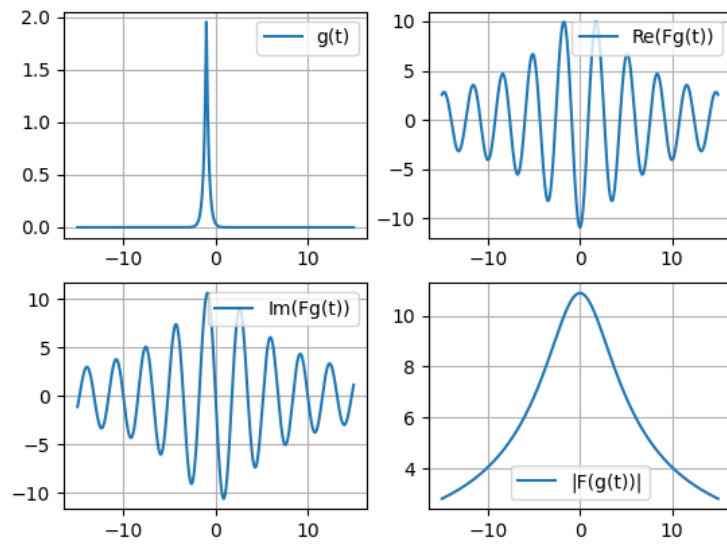


Рис. 16:  $c = 1$



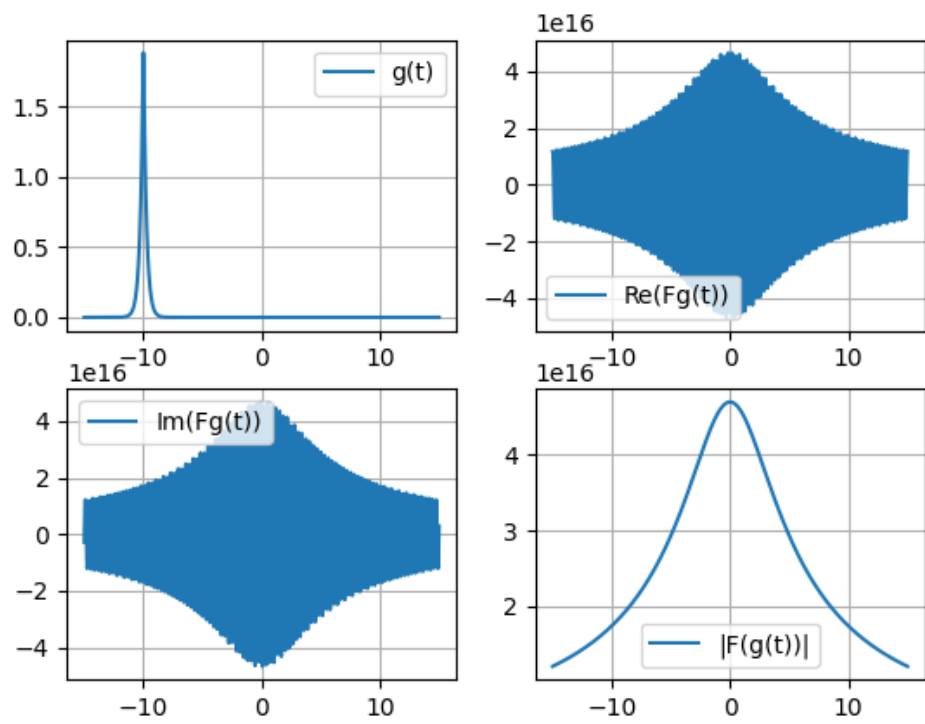


Рис. 17:  $c = 10$

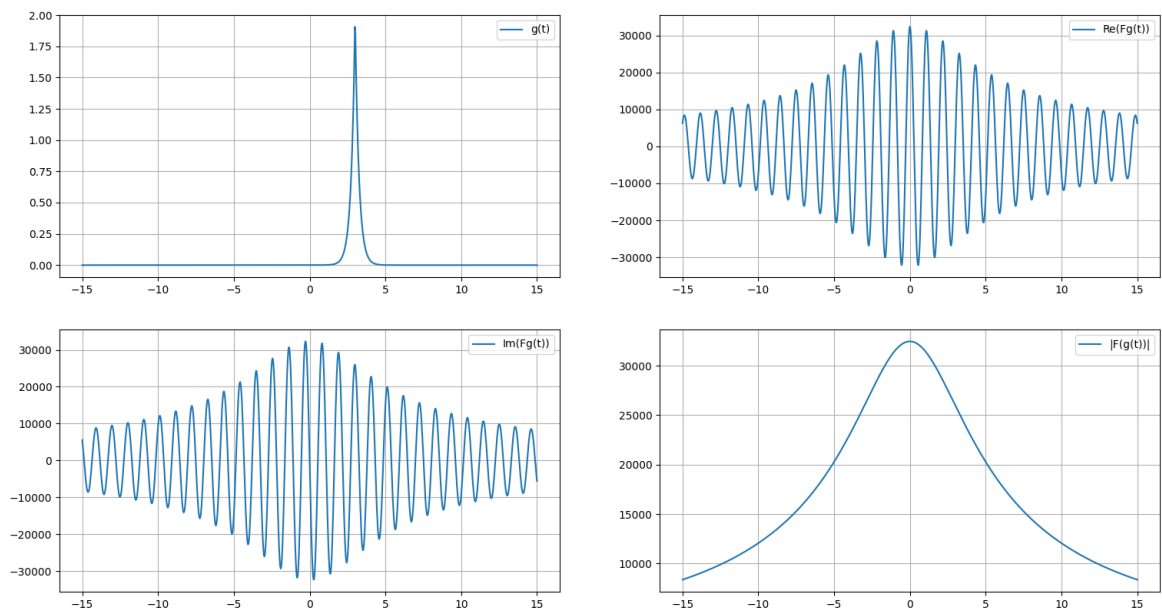


Рис. 18:  $c = -3$

## 2.2 Вывод

Влияние параметра  $s$  на саму функцию достаточно предсказуемо - параметр отвечает за сдвиг функции, чем он больше - тем дальше, направление сдвига зависит от знака  $s$ . На фурье образ влияние более интересное - чем больше модуль параметра, тем чаще колеблется вещественная и мнимая часть образа. Если же построить образ на комплексной плоскости, мы должны пронаблюдать большее количество вращений при увеличении модуля  $s$ .

## 3 Музыкальное

На этот раз откроем Matlab, напишем простую программу, которая выведет график, на котором по оси  $X$  будут отображаться частоты в герцах, а на оси  $Y$  - «вовлеченность» частоты в аккорд.

---

```
[y,f] = audioread("n15.mp3"); y = y(:,1);
dt = 1/f;
T = length(y) * dt;

t = 0:dt:T;
t = t.';

dv = 1;
v = 0 : dv : 1000;
Y = zeros(1,length(v));
for k = 1 : length(v)
    Y(k) = trapz(y.*exp(-1i*2*pi*v(k)*t));
end

plot(abs(Y));
```

---

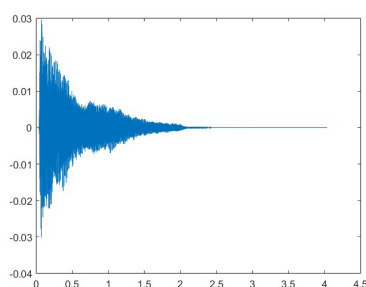


Рис. 19: Аккорд-15

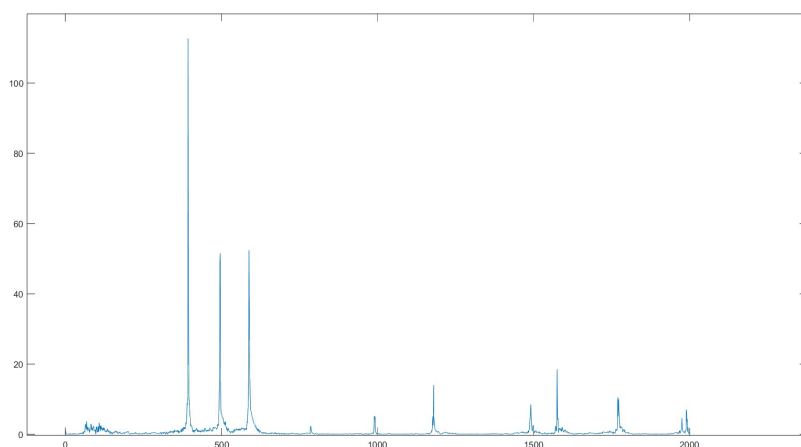


Рис. 20: Распределение частот аккорда

На графике имеем три пика на следующих частотах: 588, 495, 393. Значит аккорд №15 состоит из таких нот, как: Ре(2ая октава), Си(1ая октава), Соль(1ая октава).